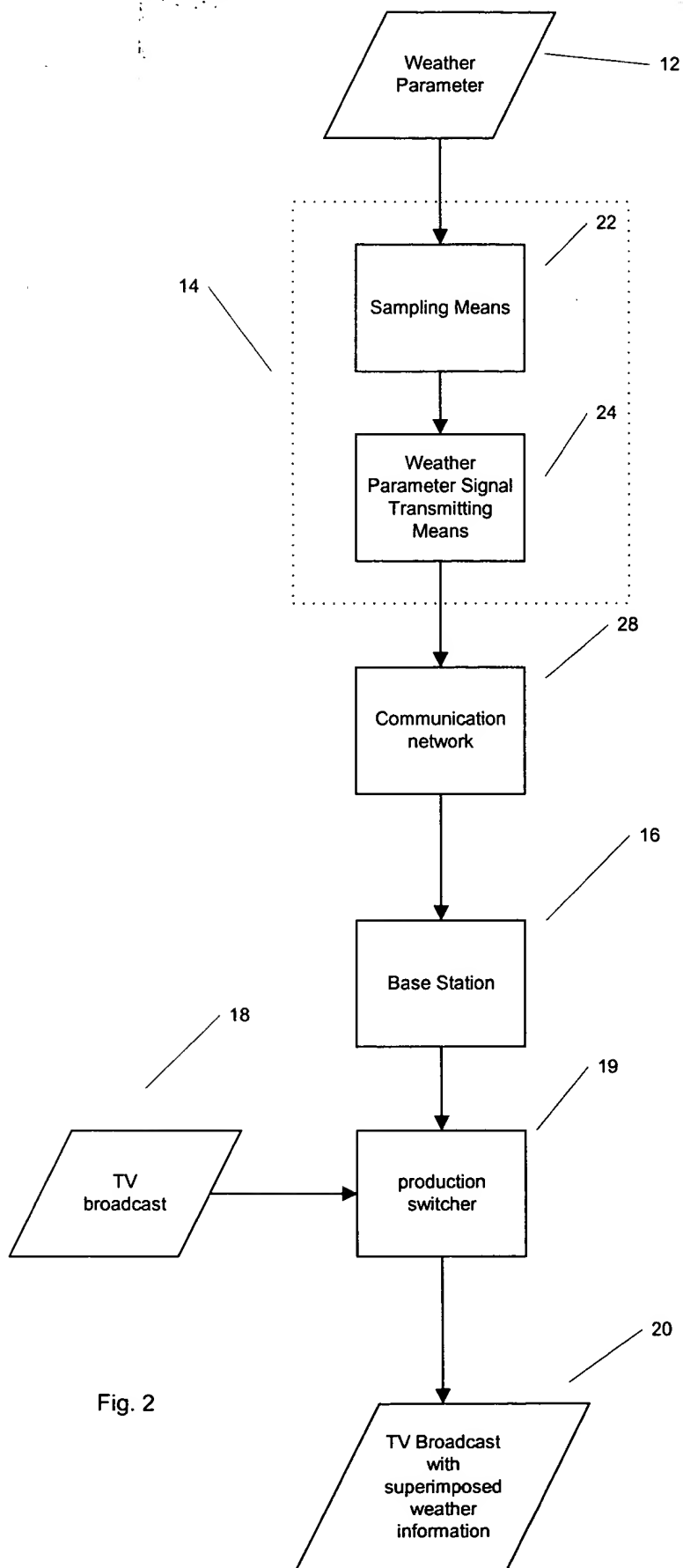


Fig. 1



002290"42840960

14

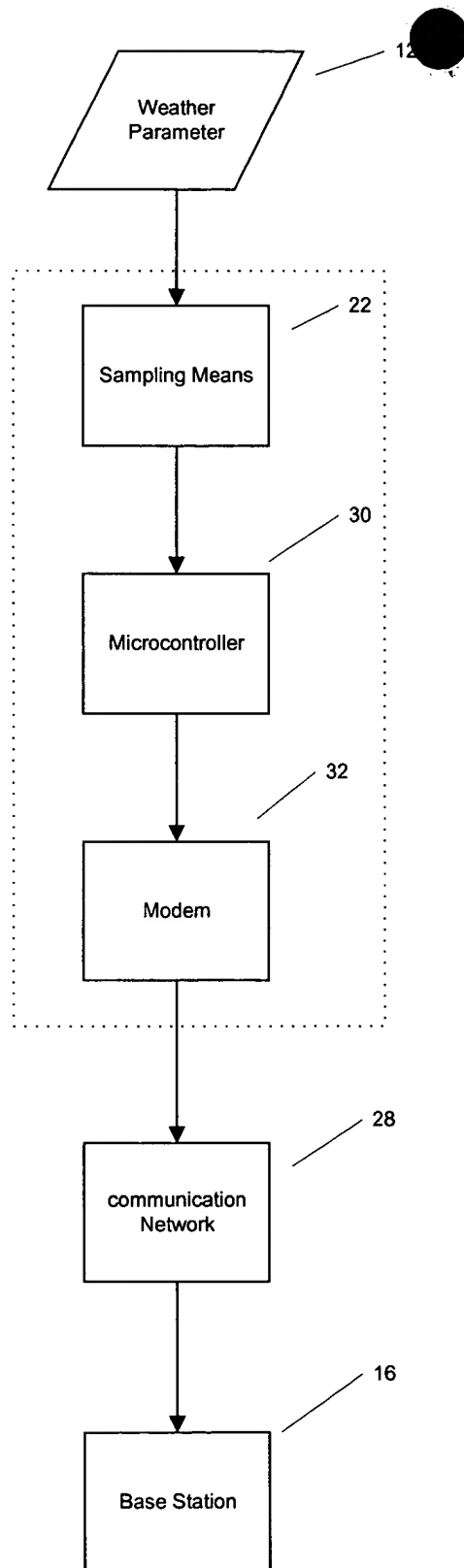


Fig. 3

002290-42840960

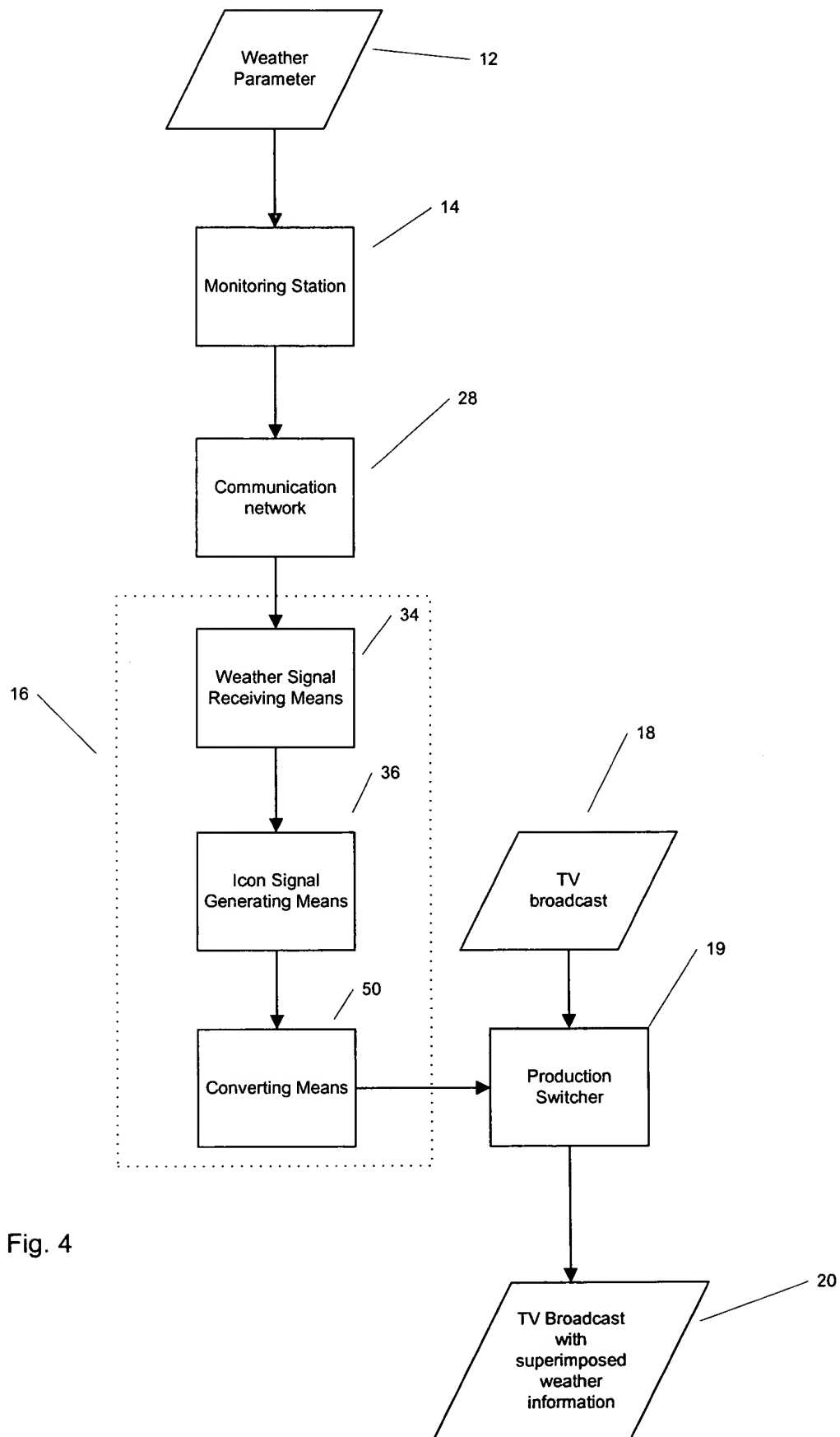


Fig. 4

002290-42840960

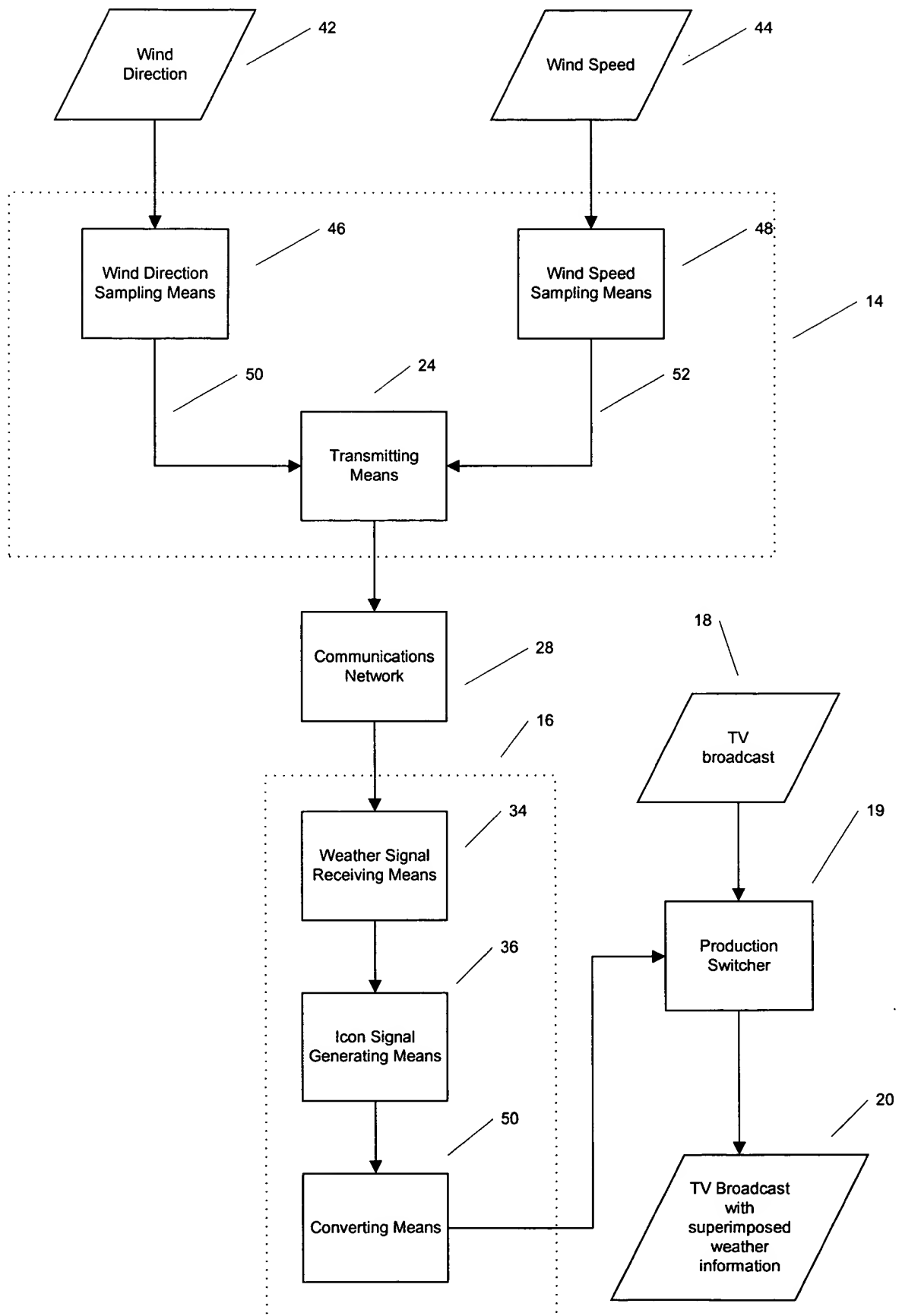


Fig. 5

002230-42840350

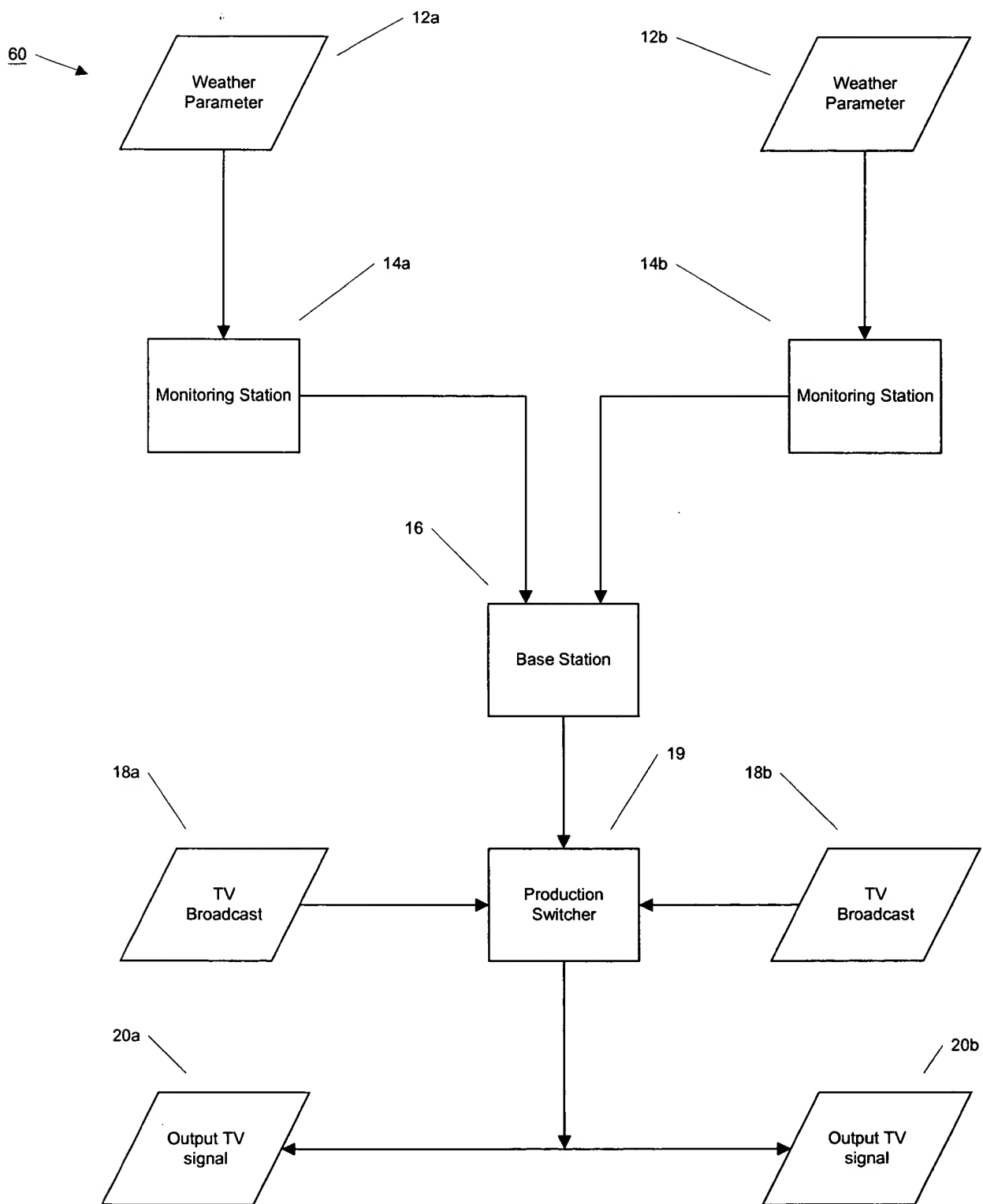
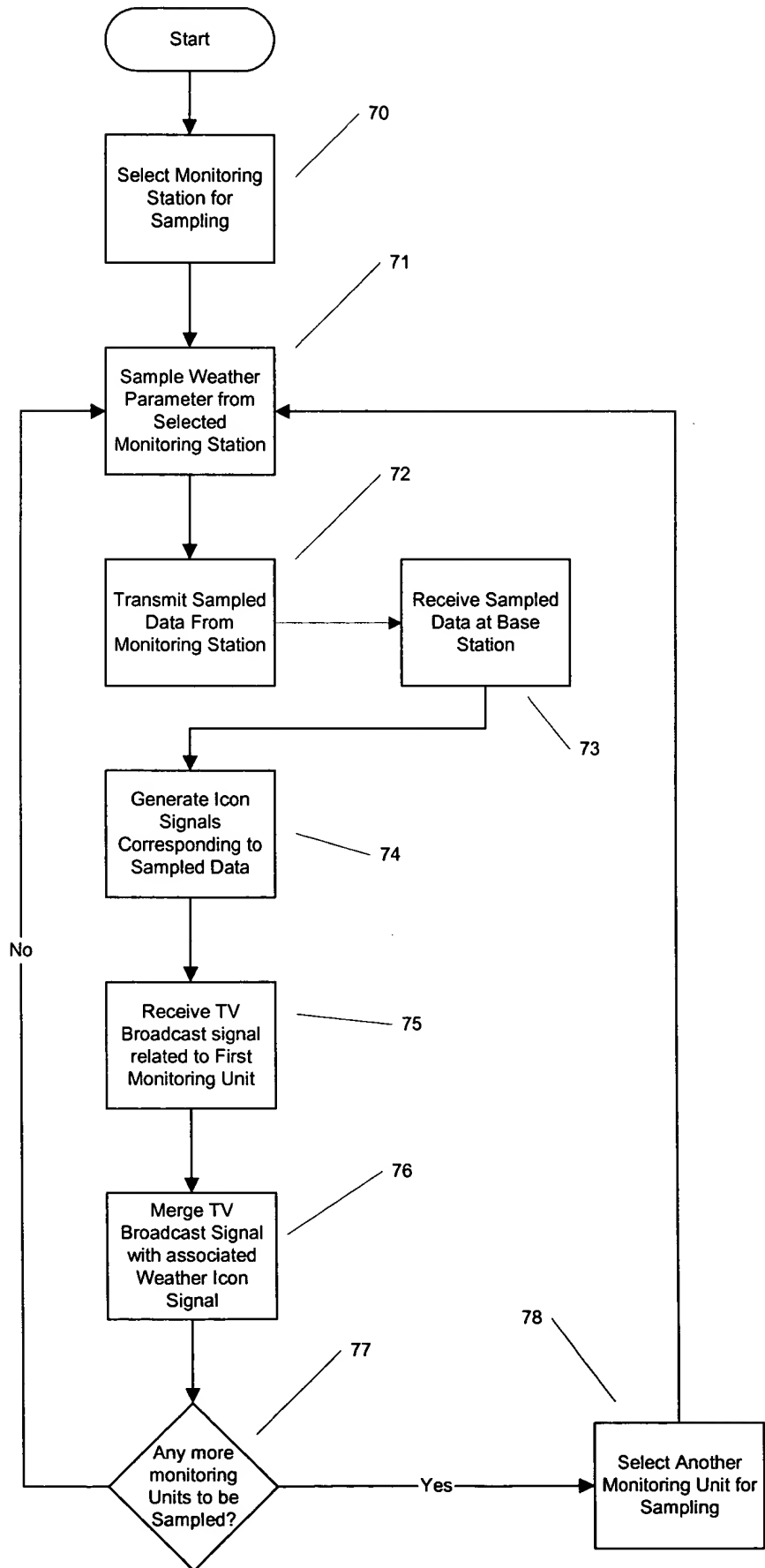


Fig. 6

Fig. 7



20250424.0920

00230" 42340360

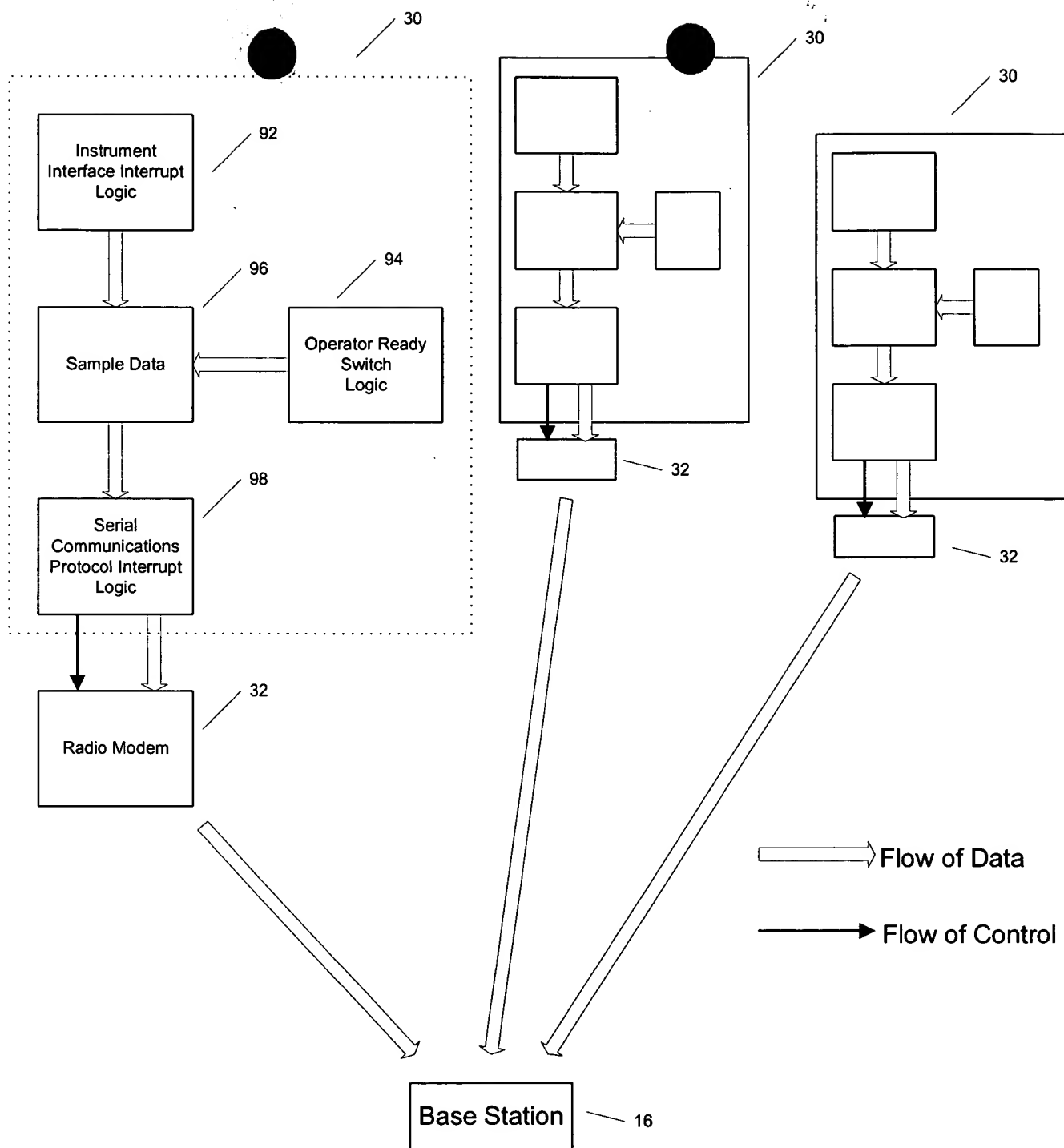
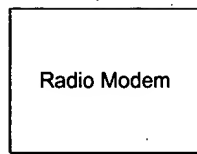
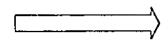


Fig. 8

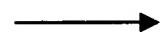




32



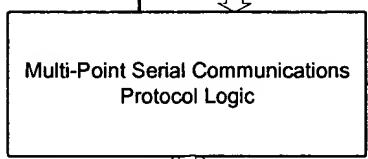
Flow of Data



Flow of Control

16

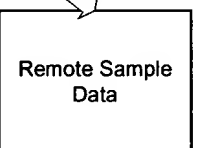
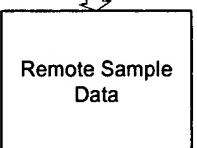
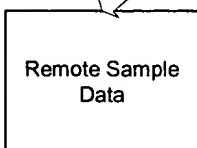
82



84a

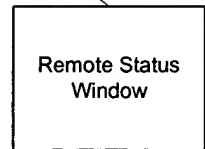
84b

84c

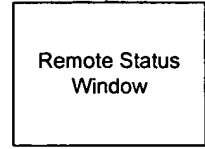


81

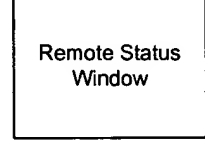
86a



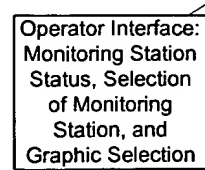
86b



86c



89



87



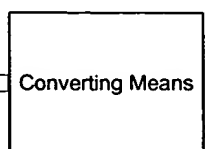
88

85

83b

83a

50



81

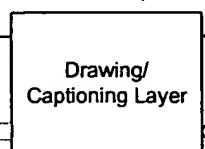


Fig. 9